



## 低电压（1.25V）可编程精密稳压器

### 概述

ME432是一款低电压三端可编程精密稳压器，在全温度范围内如同低温度系数的齐纳管一样稳定。ME432具有较宽的工作电流范围：70uA到100mA。较低的温度系数和较低的动态阻抗使其在开关电源、充电管理、运放电路等许多应用中代替齐纳二极管。

ME432工作最高电压为18V，输出电压可以通过外部电阻在Vref（1.25V）到18V之间灵活设置。

ME432提供0.5%和1%两种基准精度范围的产品。

### 应用场合

- 充电器
- 电源适配器
- 开关电源供电
- 高精度电压基准

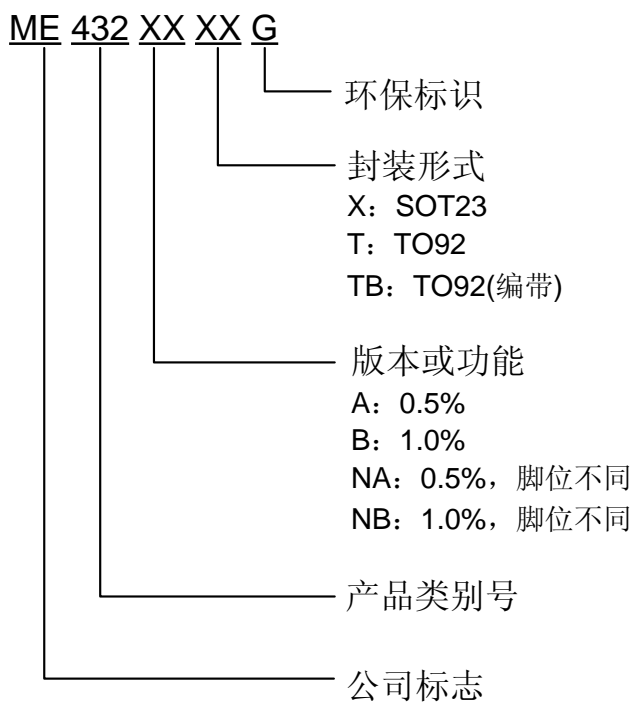
### 特点

- 可编程输出电压范围1.25V到18V
- 高精度基准电压：典型值 $1.25V \pm 0.5\%$
- 在电容负载下可保持较高的稳定性
- 低温度偏差：典型值4mV
- 全温度范围温度系数低：典型值30PPM/°C
- 低动态阻抗：典型值0.05Ω
- 较宽的负载电流范围：70uA到100mA
- 低输出噪声

### 封装形式

- 3-pin SOT23、TO92

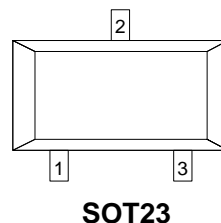
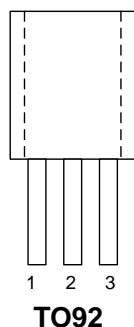
## 选型指南



| 产品型号      | 产品说明                                       |
|-----------|--|
| ME432AXG  | $V_{REF}=1.25V\pm0.5\%$ ; 封装类型: SOT23      |
| ME432BXG  | $V_{REF}=1.25V\pm1.0\%$ ; 封装类型: SOT23      |
| ME432ATG  | $V_{REF}=1.25V\pm0.5\%$ ; 封装类型: TO92       |
| ME432BTG  | $V_{REF}=1.25V\pm1.0\%$ ; 封装类型: TO92       |
| ME432ATBG | $V_{REF}=1.25V\pm0.5\%$ ; 封装类型: TO92; 编带   |
| ME432BTBG | $V_{REF}=1.25V\pm1.0\%$ ; 封装类型: TO92; 编带   |
| ME432NAXG | $V_{REF}=1.25V\pm0.5\%$ ; 封装类型: SOT23; 反脚位 |
| ME432NBXG | $V_{REF}=1.25V\pm1.0\%$ ; 封装类型: SOT23; 反脚位 |

注: 如果您需要其他电压值和封装形式的产品, 请联系我司销售人员。

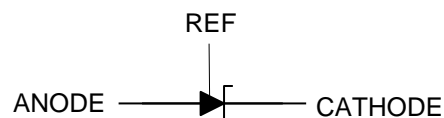
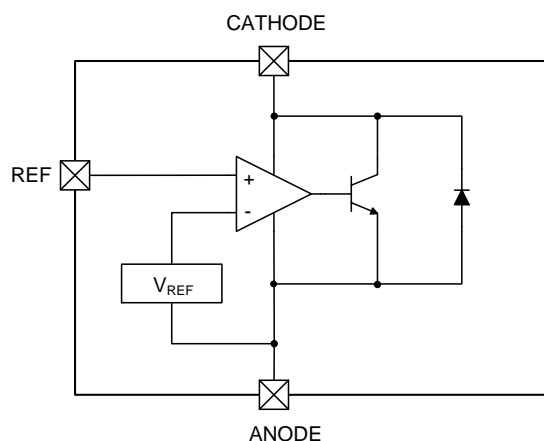
## 芯片脚位图



## 引脚功能说明

| 引脚编号  |        | 符号  | 功能           |
|-------|--------|-----|--------------|
| ME432 | ME432N |     |              |
| 1     | 3      | REF | 基准电压 (REF)   |
| 2     | 2      | A   | 阳极 (ANODE)   |
| 3     | 1      | K   | 阴极 (CATHODE) |

## 芯片功能示意图



## 绝对最大额定值

| 参数          | 符号            | 极限值        | 单位   |
|-------------|---------------|------------|------|
| 阴极电压        | $V_{KA}$      | 20         | V    |
| 阴极电流范围 (连续) | $I_{KA}$      | -100~+100  | mA   |
| 基准输入电流范围    | $I_{REF}$     | 10         | mA   |
| 最大功率耗散      | $P_D$         | TO-92: 770 | mW   |
|             |               | SOT23 :300 |      |
| 结温范围        | $T_J$         | -40~+150   | °C   |
| 存储稳定范围      | $T_{STG}$     | -55~+150   | °C   |
| 封装热阻        | $\theta_{JA}$ | TO-92 :150 | °C/W |
|             |               | SOT23 :350 |      |

**注意:** 绝对最大额定值是本产品能够承受的最大物理伤害极限值, 请在任何情况下勿超出该额定值。

## 推荐工作条件

| 参数       | 符号       | 最小值       | 最大值 | 单位 |
|----------|----------|-----------|-----|----|
| 阴极电压     | $V_{KA}$ | $V_{REF}$ | 18  | V  |
| 阴极电流     | $I_{KA}$ | 0.1       | 100 | mA |
| 工作环境温度范围 |          | -40       | 85  | °C |

## 电气参数

$T_A=25^{\circ}\text{C}$  ,除非另行标注

| 参数                    |      | 符号                                     | 条件   | 最小值  | 典型值   | 最大值   | 单位            | 测试电路 |     |
|-----------------------|------|--|--|--|-------|-------|---------------|------|-----|
| 基准电压                  | 0.5% | $V_{REF}$                              | $V_{KA}=V_{REF}, I_{KA}=10\text{mA}$   | 1.244                                      | 1.250 | 1.256 | V             | 图 1  |     |
|                       | 1.0% |  |  | 1.238                                      | 1.250 | 1.262 |               |      |     |
| 温度范围内<br>基准电压偏差       |      | $\Delta V_{REF}$                       | $V_{KA}=V_{REF}, I_{KA}=10\text{mA}$   | 0 ~ 70°C                                   | -     | 4     | 12            | mV   | 图 1 |
|                       |      |  |  | -40 ~ 85°C                                 | -     | 5     | 12            |      |     |
| 动态阻抗                  |      | $ Z_{KA} $                             | $V_{KA}=V_{REF}, I_{KA}=1 \sim 100\text{mA}, f \leq 1.0\text{KHz}$                     | -  | 0.05  | 0.15  | $\Omega$      | 图 1  |     |
| 最小阴极工作电流              |      | $I_{KA}(\text{MIN})$                   | $V_{KA}=V_{REF}$   | -  | 70    | 80    | $\mu\text{A}$ | 图 1  |     |
| 基准输入电压变化与阴极至阳极电压变化的比值 |      | $\frac{\Delta V_{REF}}{\Delta V_{KA}}$ | $I_{KA}=10\text{mA}$   | $\Delta V_{KA}=16\text{V}$<br>to $V_{REF}$ | -     | -1    | -2.0          | mV/V | 图 2 |
| 基准输入电流                |      | $I_{REF}$                              | $I_{KA}=10\text{mA}, R1=10\text{K}\Omega, R2=\infty$                                   | -  | 0.15  | 0.4   | $\mu\text{A}$ | 图 2  |     |
| 在温度范围内<br>基准输入电流偏差    |      | $\Delta I_{REF}$                       | $I_{KA}=10\text{mA}, R1=10\text{K}\Omega, R2=\infty, T_A=-40 \sim 150^{\circ}\text{C}$ | -  | 0.1   | 0.4   | $\mu\text{A}$ | 图 2  |     |
| 截止态阴极电流               |      | $I_{KA}(\text{OFF})$                   | $V_{KA}=18\text{V}, V_{REF}=0$   | -  | 0.01  | 0.05  | $\mu\text{A}$ | 图 3  |     |

注意:动态阻抗的定义为:  $|Z_{KA}| = \Delta V_{KA} / \Delta I_{KA}$

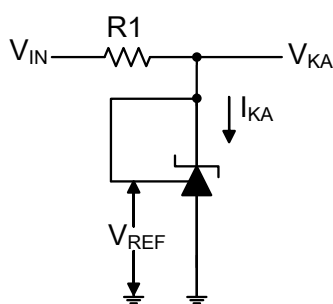


Fig.1:  $V_{KA} = V_{REF}$

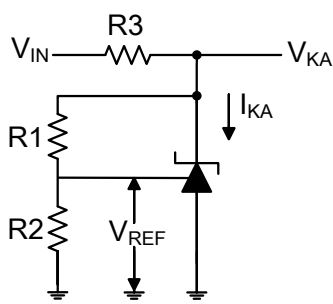


Fig.2:  $V_{KA} > V_{REF}$

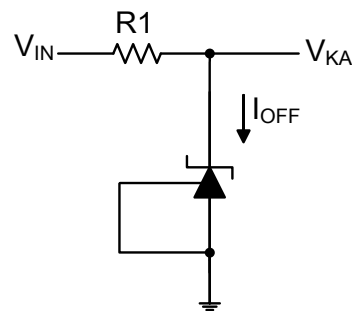
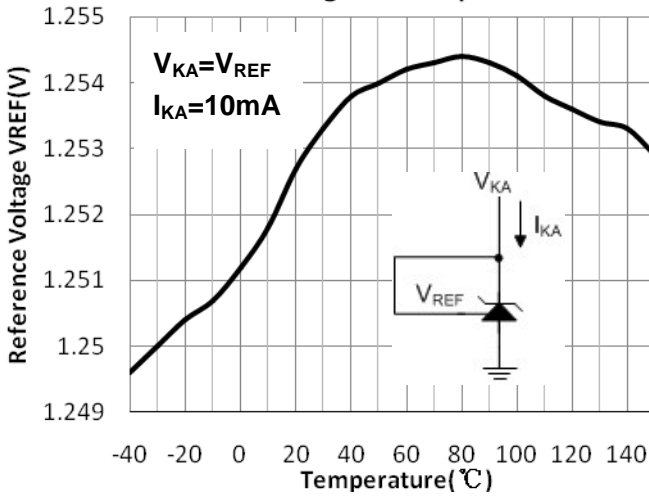


Fig.3:  $I_{OFF}$

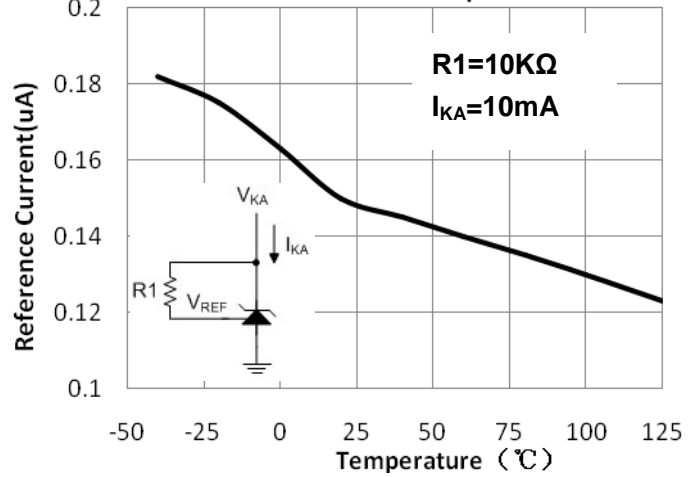
$$V_{KA} = V_{REF}(1 + R1/R2) + I_{REF}R1$$

## 典型性能参数

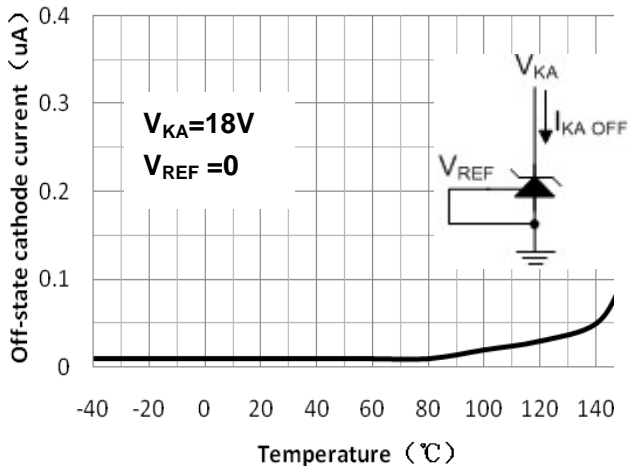
Reference voltage vs. Temperature



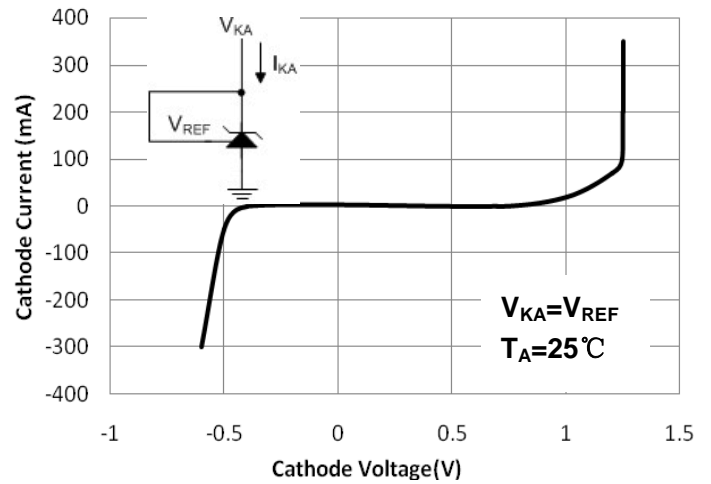
Reference Current vs. Temperature



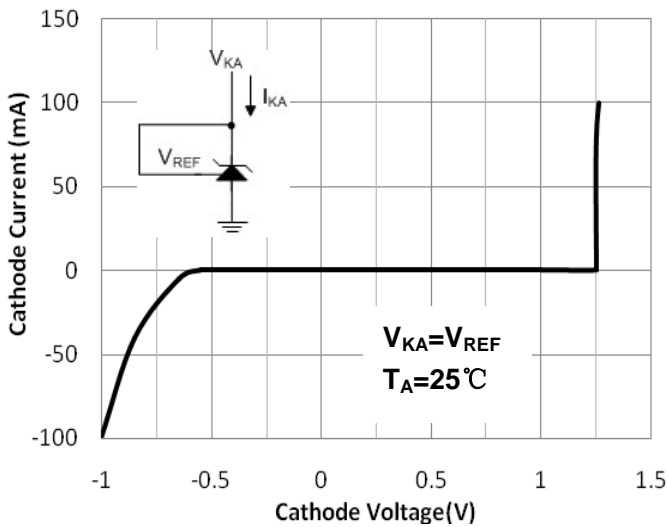
Off-state cathode current vs Temperature



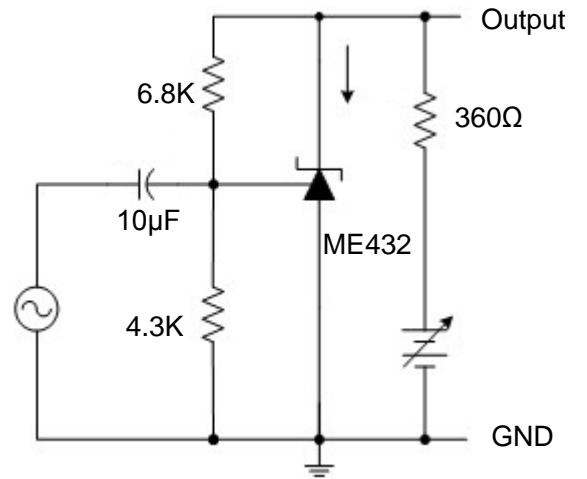
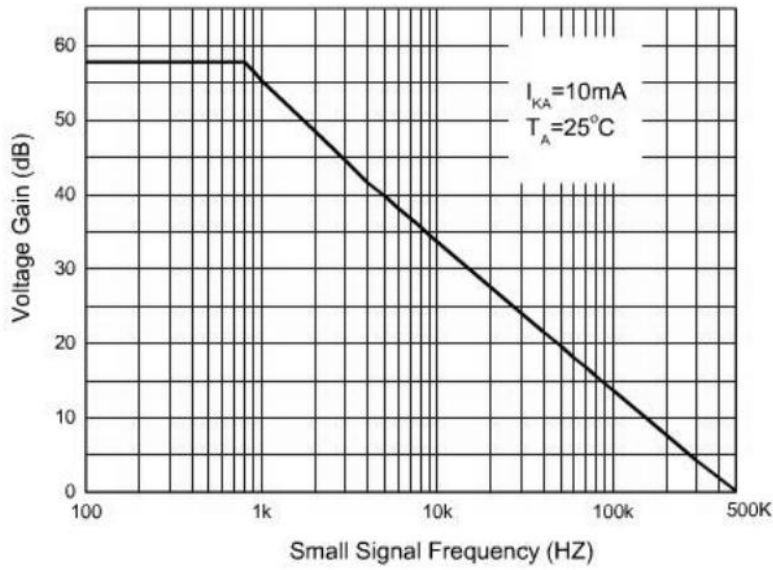
Cathode Current vs. Cathode Voltage



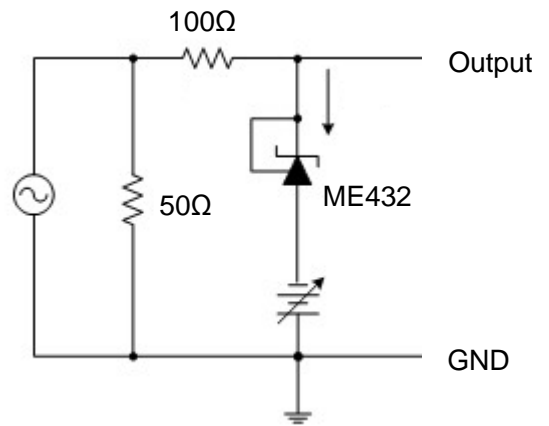
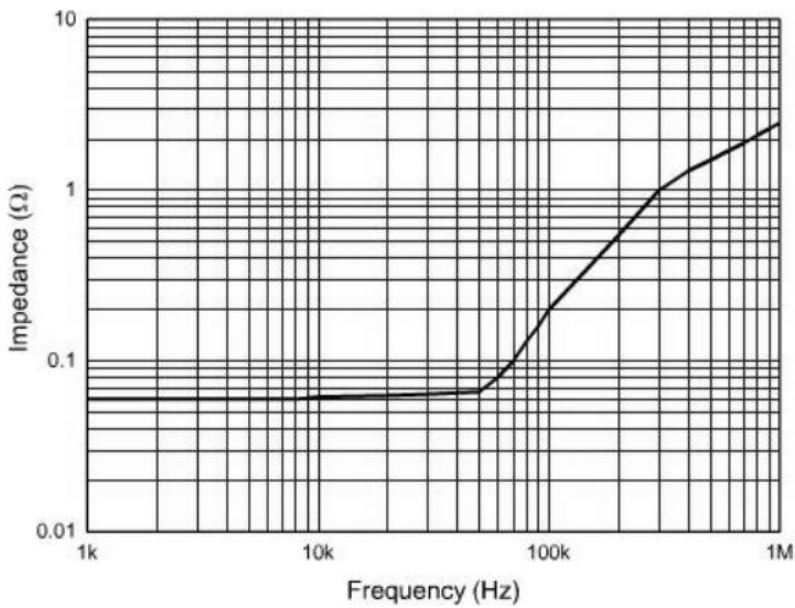
Cathode Current vs. Cathode Voltage



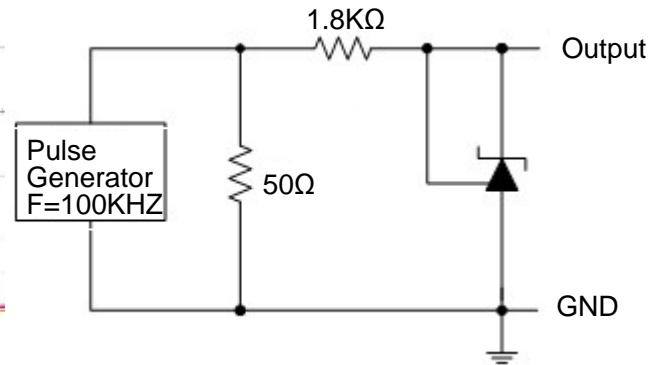
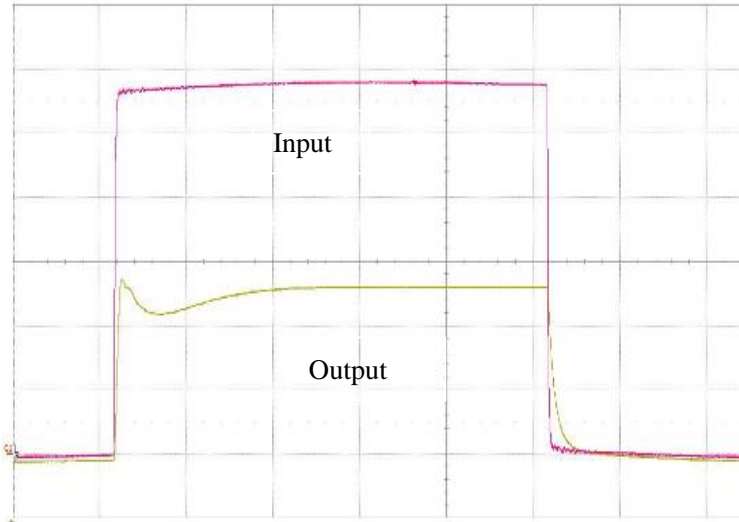
Small Signal Voltage Gain vs. Frequency



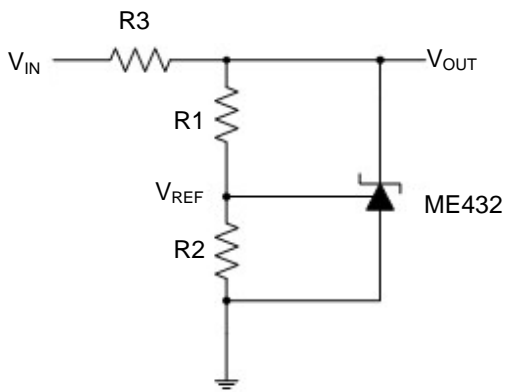
Dynamic Impedance vs. Frequency



Pulse Response of Input and Output Voltage

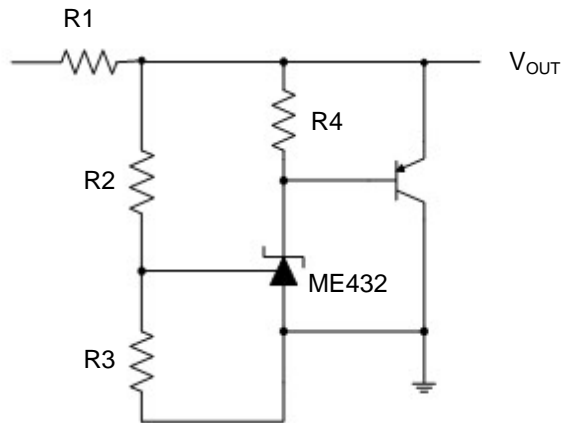


典型应用电路图



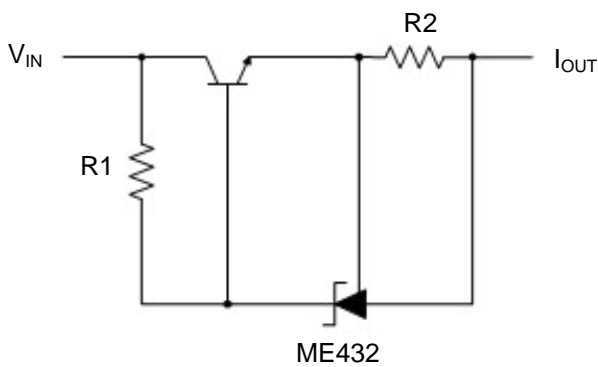
$$V_O = (1 + R1/R2)V_{REF}$$

图4: 分路稳压器



$$V_O = (1 + R2/R3)V_{REF}$$

图5: 大电流分路稳压器



$$I_{OUT} = V_{REF}/R2 + I_{KA}$$

图6: 恒流源

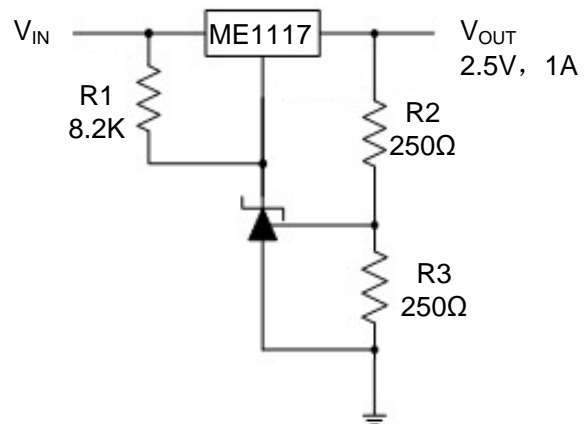
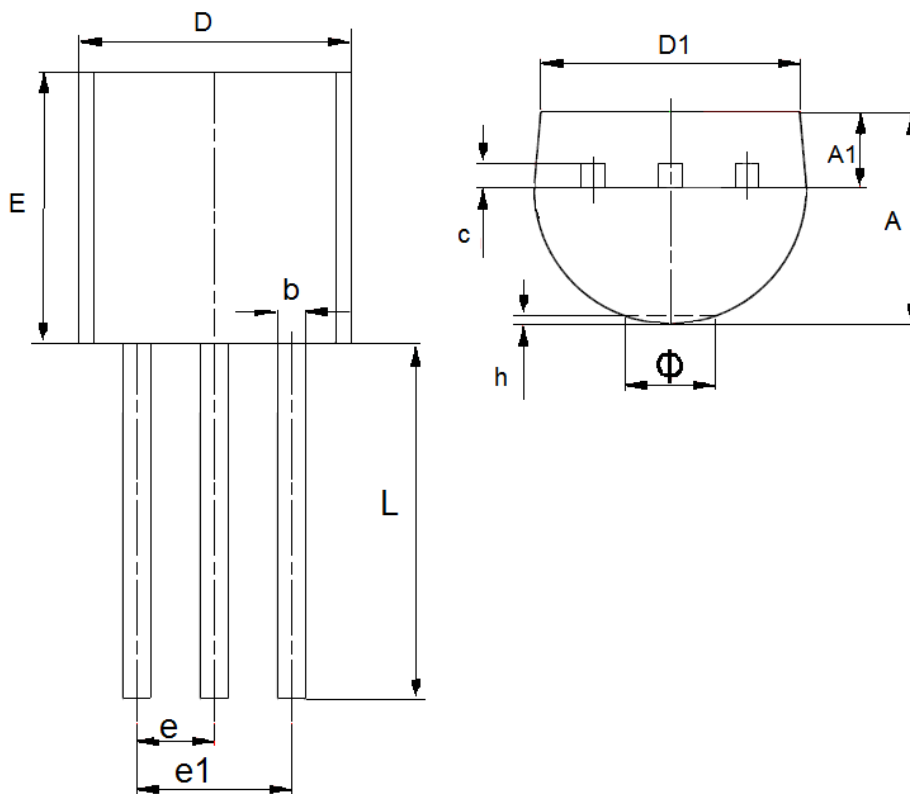


图7: 精密2.5V 1A稳压器

封装信息

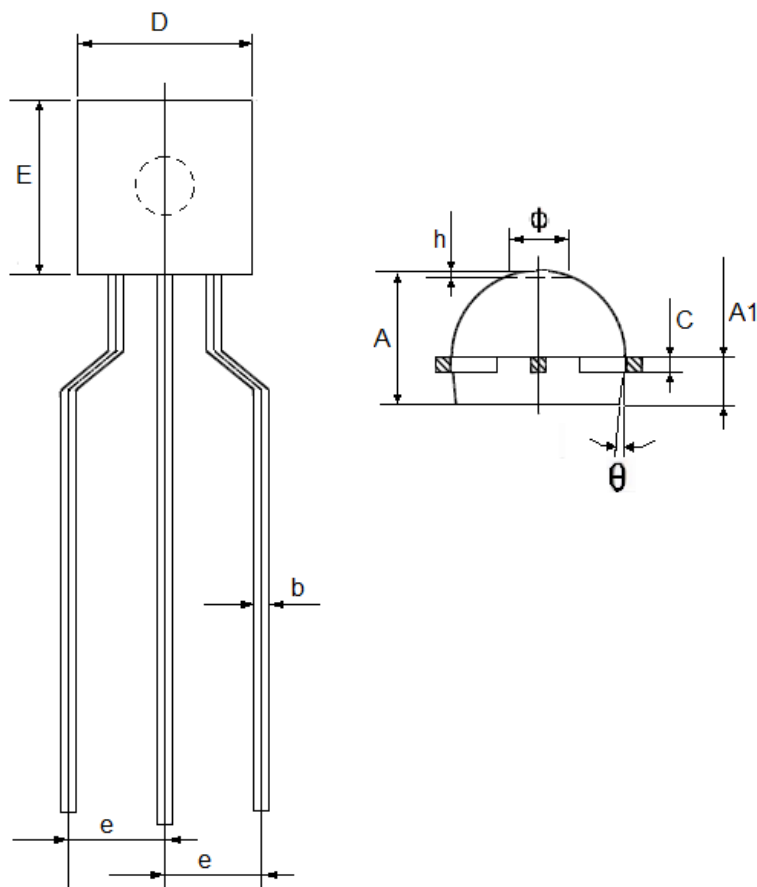
- 封装类型: TO92



| 参数 | 尺寸 (mm) |      | 尺寸 (Inch) |        |
|----|---------|------|-----------|--------|
|    | 最小值     | 最大值  | 最小值       | 最大值    |
| A  | 3.3     | 3.7  | 0.1299    | 0.1457 |
| A1 | 1.1     | 1.4  | 0.0433    | 0.0551 |
| b  | 0.38    | 0.55 | 0.015     | 0.0217 |
| c  | 0.36    | 0.51 | 0.0142    | 0.0201 |
| D  | 4.3     | 4.7  | 0.1693    | 0.185  |
| D1 | 3.43    | —    | 0.135     | —      |
| E  | 4.3     | 4.7  | 0.1693    | 0.185  |
| e  | 1.27TYP |      | 0.05TYP   |        |
| e1 | 2.44    | 2.64 | 0.0961    | 0.1039 |
| L  | 14.1    | 14.5 | 0.5551    | 0.5709 |
| h  | 0       | 0.38 | 0         | 0.015  |
| Φ  | —       | 1.6  | —         | 0.063  |

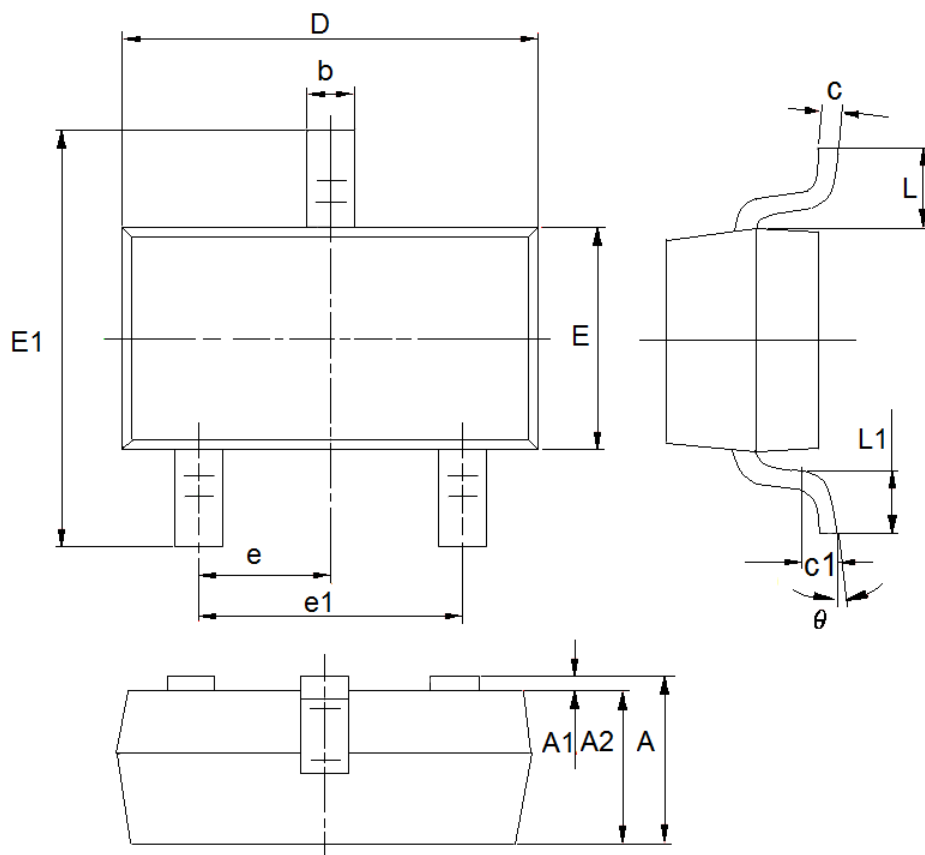


● 封装类型: T092 (编带)



| 参数       | 尺寸 (mm) |     | 尺寸 (Inch) |        |
|----------|---------|-----|-----------|--------|
|          | 最小值     | 最大值 | 最小值       | 最大值    |
| A        | 3.4     | 3.7 | 0.1339    | 0.1457 |
| A1       | 1.15    | 1.4 | 0.0453    | 0.0551 |
| b        | 0.36    | 0.5 | 0.0142    | 0.0197 |
| c        | 0.38    |     | 0.0150    |        |
| D        | 4.4     | 4.7 | 0.1732    | 0.1850 |
| E        | 4.4     | 4.7 | 0.1732    | 0.1850 |
| e        | 2.2     | 2.8 | 0.0866    | 0.1102 |
| $\phi$   | 1.5     |     | 0.0591    |        |
| $\theta$ | 5°      |     | 5°        |        |
| h        | 0.2     |     | 0.0079    |        |

● 封装类型: SOT23



| 参数       | 尺寸 (mm)   |      | 尺寸 (Inch)   |        |
|----------|-----------|------|-------------|--------|
|          | 最小值       | 最大值  | 最小值         | 最大值    |
| A        | 0.9       | 1.15 | 0.0354      | 0.0453 |
| A1       | 0         | 0.14 | 0.0000      | 0.0055 |
| A2       | 0.9       | 1.05 | 0.0354      | 0.0413 |
| b        | 0.28      | 0.52 | 0.0110      | 0.0205 |
| c        | 0.07      | 0.23 | 0.0028      | 0.0091 |
| D        | 2.8       | 3.0  | 0.1102      | 0.1181 |
| e1       | 1.8       | 2.0  | 0.0709      | 0.0787 |
| E        | 1.2       | 1.4  | 0.0472      | 0.0551 |
| E1       | 2.2       | 2.6  | 0.0866      | 0.1024 |
| e        | 0.95(TYP) |      | 0.0374(TYP) |        |
| L        | 0.55(TYP) |      | 0.0217(TYP) |        |
| L1       | 0.25      | 0.55 | 0.0098      | 0.0217 |
| $\theta$ | 0         | 8°   | 0.0000      | 8°     |
| c1       | 0.25(TYP) |      | 0.0098(TYP) |        |

- 本资料内容，随产品的改进，会进行相应更新，恕不另行通知。使用本资料前请咨询我司销售人员，以保证本资料内容为最新版本。
- 本资料所记载的应用电路示例仅用作表示产品的代表性用途，并非是保证批量生产的设计。
- 请在本资料所记载的极限范围内使用本产品，因使用不当造成的损失，我司不承担其责任。
- 本资料所记载的产品，未经本公司书面许可，不得用于会对人体产生影响的器械或装置，包括但不限于：健康器械、医疗器械、防灾器械、燃料控制器械、车辆器械、航空器械及车载器械等。
- 尽管本公司一向致力于提高产品质量与可靠性，但是半导体产品本身有一定的概率发生故障或错误工作，为防止因此类事故而造成的人身伤害或财产损失，请在使用过程中充分留心备用设计、防火设计、防止错误动作设计等安全设计。
- 将本产品或者本资料出口海外时，应当遵守适用的进出口管制法律法规。
- 未经本公司许可，严禁以任何形式复制或转载本资料的部分或全部内容。

## X-ON Electronics

Largest Supplier of Electrical and Electronic Components

*Click to view similar products for [Switching Controllers](#) category:*

*Click to view products by [Micro One](#) manufacturer:*

Other Similar products are found below :

[LV5065VB-TLM-H](#) [LV5066V-TLM-H](#) [LV5725JAZ-AH](#) [633888R](#) [MP2908AGF](#) [AZ7500EP-E1](#) [NCP1012AP133G](#) [NCP1217P133G](#)  
[NCP1218AD65R2G](#) [NCP1234AD100R2G](#) [NCP1244BD065R2G](#) [NCP1336ADR2G](#) [NCP1587GDR2G](#) [NCP6153MNTWG](#)  
[NCP81005MNTWG](#) [NCP81101BMNTXG](#) [NCP81205MNTXG](#) [HV9123NG-G-M934](#) [IR35207MTRPBF](#) [ISL6367HIRZ](#) [CAT874-80ULGT3](#)  
[SJ6522AG](#) [SJE6600](#) [TLE63893GV50XUMA1](#) [IR35215MTRPBF](#) [SG3845DM](#) [NCP1216P133G](#) [NCP1236DD65R2G](#) [NCP1247BD100R2G](#)  
[NCP1250BP65G](#) [NCP4202MNR2G](#) [NCP4204MNTXG](#) [NCP6132AMNR2G](#) [NCP81141MNTXG](#) [NCP81142MNTXG](#) [NCP81172MNTXG](#)  
[NCP81203MNTXG](#) [NCP81206MNTXG](#) [NX2155HCUPTR](#) [UC3845ADM](#) [UBA2051C](#) [IR35201MTRPBF](#) [MAX8778ETJ+](#)  
[MAX17500AAUB+T](#) [MAX17411GTM+T](#) [MAX16933ATIR/V+](#) [NCP1010AP130G](#) [NCP1063AD100R2G](#) [NCP1216AP133G](#)  
[NCP1217AP100G](#)